

**О СНИЖЕНИИ ПЬЕЗОМЕТРИЧЕСКИХ НАПОРОВ
В ПОДСТИЛАЮЩИХ ДРЕНИРУЕМЫЕ ГРУНТЫ ВОДОНОСНЫХ
ГОРИЗОНТАХ**

Н. И. Гамаюнов, Б. С. Шержуков

(Калинин)

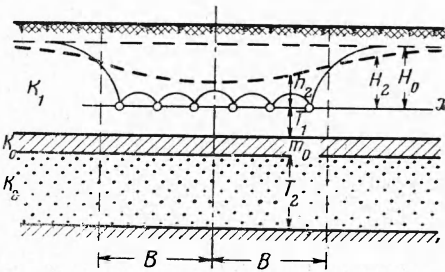
При дренировании грунтов, подстилаемых хорошо проницаемыми водоносными горизонтами, режим грунтовых вод существенно зависит от величины действующего напора. Ряд задач неустановившейся фильтрации в дрены при наличии питания через слабопроницаемый водоупор рассмотрен в условиях постоянства напора в подстилающем водоносном горизонте [1, 2]. Такой подход может быть оправдан, если водоносный горизонт имеет значительную мощность и формируется в стороне от дренируемой территории, охватывающей небольшую площадь в плане. В случае же относительно малой мощности водоносного горизонта и действия дренажа на значительной площади имеет место уменьшение запасов подземных вод водоносного пласта и снижение его напора, что требует специального учета в инженерных расчетах. Параметры установившегося потока в дрены в условиях сниженного и уравновешенного напора в подстилающем водоносном горизонте определены С. Ф. Аверьяновым [3] для круговой в плане площади дренирования. Ниже приводится решение этой задачи для условий неустановившейся фильтрации.

§ 1. Площадь дренирования имеет в плане форму неограниченной полосы. В расчетной схеме (фиг. 1) систематический дренаж, заложенный на расстоянии T_1 от верхней кровли слабопроницаемого водоупора мощностью m_0 с коэффициентом фильтрации k_0 на полосе шириной $2B$, обеспечивает понижение уровня грунтовых вод в верхнем пласте с коэффициентом фильтрации k_1 . Результатом этого является снижение напора и в подстилающем водоносном горизонте мощностью T_2 с коэффициентом фильтрации k_2 . Динамика напоров в последнем рассматривается в предположении, что во внутренней зоне ($-B < x < +B$) имеет место восходящий ток жидкости из водоносного горизонта в дренируемый пласт, а во внешней зоне ($-B > x > +B$) — нисходящий. Полагая далее, что это течение осуществляется нормально к слоям с коэффициентом фильтрации k_0 и k_1 при их мощности m_0 и T_1 , а градиент напорного подпитывания снизу определяется разностью напора подстилающего слоя h_2 (в начале процесса H_0) и некоторого сниженного дренами напора в верхнем слое H° (в общем случае переменного во времени), получим обычным способом дифференциальное уравнение для напоров в подстилающем водоносном горизонте (t — время)

$$\frac{d^2\eta}{dx^2} - \alpha^2\eta = 0 \quad (1.1)$$

Здесь

$$\eta = h_2(x, t) - H^\circ, \quad \alpha^2 = \frac{k_0 k_1}{k_2 T_2 (k_1 m_0 + k_0 T_1)}$$



Фиг. 1

Общее решение $\eta = C_1 \operatorname{ch} \alpha x + C_2 \operatorname{sh} \alpha x$ уравнения (1.1) для граничного условия $dh_2/dx = 0$ при $x = 0$ дает $C_2 = 0$ и, следовательно,

$$\eta = h_2 - H^\circ = C_1 \operatorname{ch} \alpha x \quad (1.2)$$

Постоянную C_1 определяем из условия $h_2 = h_2(B, t)$ на границе $x = B$. Таким образом, в расчет вводится переменный во времени расход, поступающий из внешней зоны, что обуславливает параметрическую зависимость искомого напора h_2 от времени. Приняв очевидное равенство $h_2(B, t) = H_2(B, t)$, где H_2 — напор в подстилающем горизонте во внешней области ($B < x < \infty$), напишем систему уравнений, определяющих течение в ней

$$k_2 T_2 \frac{d^2 H_2}{dx^2} + \frac{k_0}{m_0} (H_1 - H_2) = 0 \quad (1.3)$$

$$k_1 \frac{\partial}{\partial x} \left[(H_1 + T_1) \frac{\partial H_1}{\partial x} \right] - k_0 \frac{H_1 - H_2}{m_0} = \delta \frac{\partial H_1}{\partial t} \quad (1.4)$$

где δ — коэффициент водоотдачи.

Определив H_1 из уравнения (1.3), подставив в (1.4) и опустив производные порядка выше второго, получим при осреднении $H_1 + T_1 \approx H_0 + T_1$

$$a_2 \frac{\partial^2 H_2}{\partial x^2} = \frac{\partial H_2}{\partial t} \quad \left(a_2 = \frac{k_1 (H_0 + T_1) + k_2 T_2}{\delta} \right) \quad (1.5)$$

Последнее уравнение рассматривается при начальном и граничном условиях

$$H_2(x, 0) = H_0 \quad (1.6)$$

$$H_2(\infty, t) = H_0 \quad \text{или} \quad [\partial H_2 / \partial x]_{x=\infty} = 0 \quad (1.7)$$

Второе граничное условие получается из следующих рассуждений. Подставив $h_2 = h_2(B, t)$ в уравнение (1.2), найдем $C_1 = [h_2(B, t) - H^\circ] / \operatorname{ch} \alpha B$; следовательно, (1.2) примет вид

$$h_2(x, t) - H^\circ = \frac{h_2(B, t) - H^\circ}{\operatorname{ch} \alpha B} \operatorname{ch} \alpha x \quad (1.8)$$

На границе $x = B$

$$\frac{\partial h_2(B, t)}{\partial x} = \alpha [h_2(B, t) - H^\circ] \operatorname{th} \alpha B$$

Учитывая, что $h_2 = H_2$ при $x = B$, получим граничное условие третьего рода в виде

$$\frac{\partial H_2(B, t)}{\partial x} + \beta [H^\circ - H_2(B, t)] = 0 \quad (\beta = \alpha \operatorname{th} \alpha B) \quad (1.9)$$

Решение уравнения (1.5) при начальном (1.6) и граничных условиях (1.7), (1.9) (задача Римана), как известно, имеет вид

$$H_2(x, t) = H_0 - (H_0 - H^\circ) \left\{ \operatorname{erfc} \left(\frac{x-B}{2\sqrt{a_2 t}} \right) - \exp [\beta(x-B) + a_2 \beta^2 t] \operatorname{erfc} \left(\frac{x-B}{2\sqrt{a_2 t}} + \beta \sqrt{a_2 t} \right) \right\} \quad (1.10)$$

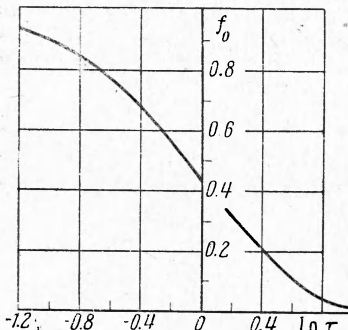
Так как на границе $x = B$

$$H_2(B, t) = h_2(B, t) = H_0 - (H_0 - H^\circ) [1 - \exp (\alpha_2 \beta^2 t) \operatorname{erfc} (\beta \sqrt{a_2 t})]$$

то подстановка в (1.8) дает выражение для напоров в подстилающем водоносном горизонте внутренней области

$$h_2(x, t) = H^\circ + (H_0 - H^\circ) \frac{\operatorname{ch} \alpha x}{\operatorname{ch} \alpha B} f_0(\tau) \quad (1.11)$$

График функции $f_0 = \exp (\tau^2) \operatorname{erfc} (\tau)$, где $\tau = \beta \sqrt{a_2 t}$, дан на фиг. 2.



Фиг. 2

Стационарному состоянию отвечает $h_2 = H^\circ$, однако процесс приближения к нему замедлен, так как стремление $\text{erfc}(\tau)$ к нулю при $\tau \rightarrow \infty$ сдерживается ростом экспоненты.

Для общей оценки напорности подстилающего водоносного горизонта может быть получено среднее значение h_{2m} пьезометрического напора

$$h_{2m}(t) = \frac{1}{B} \int_0^B h_2(x, t) dx = H^\circ + \frac{H_0 - H^\circ}{\alpha} f_0 \operatorname{th} \alpha B$$

§ 2. Площадь дренирования имеет в плане форму круга (осесимметричная задача). Рассматриваемый случай может иметь место, например, при дренировании торфяников сточных и бессточных котловин, а также некоторых месторождений водораздельного залегания. Если соотношение сторон дренируемого месторождения $L/B \ll 2$, то его площадь приводится к площади круга с радиусом $R = \sqrt{\omega/\pi}$, где ω — площадь, ограниченная реальным контуром.

Пусть в районе месторождения имеется бассейн грунтовых вод. Водовмещающие породы имеют на периферии торфяника коэффициент фильтрации k_2^* , а под ним водоносный пласт (фиг. 3) мощностью T_2 с коэффициентом фильтрации k_2 . Естественный уровень грунтовых вод в торфяной залежи залегает на расстоянии H_0 от плоскости заложения дрен; его отметка соответствует напору в подстилающем водоносном горизонте. Рассмотрение баланса расходов в последнем дает уравнение

$$\frac{d^2 h_2}{dr^2} + \frac{1}{r} \frac{dh_2}{dr} - \alpha^2 (h_2 - H^\circ) = 0 \quad (2.1)$$

В общем решении $h_2 - H^\circ = C_1 I_0(\alpha r) + C_2 K_0(\alpha r)$ этого уравнения, где $I_0(\alpha r)$ и $K_0(\alpha r)$ — модифицированные функции Бесселя нулевого порядка первого и второго рода, постоянная $C_2 = 0$, как это видно из очевидного условия $dh_2/dr = 0$ при $r = 0$. Постоянная C_1 определяется из условия на границе $h_2 = h_2(R, t)$; получим

$$h_2(r, t) - H^\circ = [h_2(R, t) - H^\circ] \frac{I_0(\alpha r)}{I_0(\alpha R)} \quad (2.2)$$

Неустановившаяся фильтрация во внешней области ($R \leq r < \infty$) описывается дифференциальным уравнением

$$a \left(\frac{\partial^2 H_2}{\partial r^2} + \frac{1}{r} \frac{\partial H_2}{\partial r} \right) = \frac{\partial H_2}{\partial t} \quad \left(a = \frac{k_2^* H_m}{\delta} \right) \quad (2.3)$$

Здесь H_m — средняя мощность потока грунтовых вод во внешней области, которая может быть принята равной $H_m = T_2 + m_0 + T_1 + H_0$.

Вводя новую переменную $u = H_2 - H_0$, представим (2.3) в виде

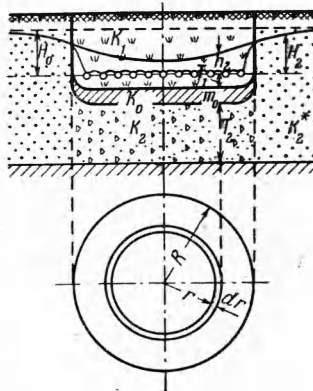
$$a \left(\frac{\partial^2 u}{\partial r^2} + \frac{1}{r} \frac{\partial u}{\partial r} \right) = \frac{\partial u}{\partial t} \quad (2.4)$$

Условия однозначности, из которых третье формулируется на тех же началах, что и для плоской задачи, имеют вид

$$\begin{aligned} u(r, 0) &= 0, \quad \lim u(r, t) = 0 \quad \text{при } r \rightarrow \infty \\ \frac{\partial u}{\partial r} \Big|_{r=R} - \frac{k_2^*}{k_2} \alpha \frac{I_1(\alpha R)}{I_0(\alpha R)} [u(R, t) - H^\circ] &= 0 \end{aligned} \quad (2.5)$$

Применив к уравнению (2.4) преобразование Лапласа, получим

$$U''(r, p) + \frac{1}{r} U'(r, p) - \frac{p}{a} U = 0 \quad \left(U(r, p) = \int_0^\infty u(r, t) e^{-pt} dt \right) \quad (2.6)$$



Фиг. 3

Общее решение уравнения (2.6) имеет вид [4]

$$U(r, p) = C_3 I_0 \left(\sqrt{\frac{p}{a}} r \right) + C_4 K_0 \left(\sqrt{\frac{p}{a}} r \right) \quad (2.7)$$

Здесь следует принять $C_3 = 0$, так как

$$I_0 \left(\sqrt{\frac{p}{a}} r \right) \rightarrow \infty, \quad K_0 \left(\sqrt{\frac{p}{a}} r \right) \rightarrow 0 \text{ при } r \rightarrow \infty$$

Переходя к изображениям $U(R, p) \doteq u(R, p)$ в третьем граничном условии (2.5)

$$U'(R, p) - \frac{k_2^*}{k_2} \alpha \frac{I_1(\alpha R)}{I_0(\alpha R)} \left[U(R, p) - \frac{H^\circ}{p} \right] = 0 \quad (2.8)$$

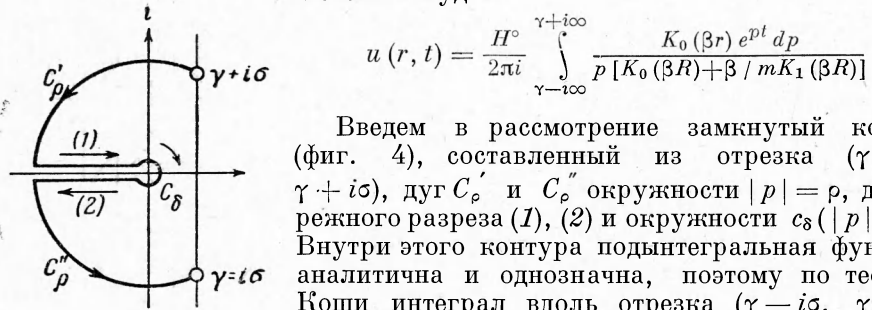
найдем постоянную

$$C_4 = \frac{H^\circ}{p} \left[K_0 \left(\sqrt{\frac{p}{a}} R \right) + \frac{k_2 I_0(\alpha R)}{\alpha k_2^* I_1(\alpha R)} \sqrt{\frac{p}{a}} K_1 \left(\sqrt{\frac{p}{a}} R \right) \right]^{-1}$$

С учетом постоянных решение уравнения (2.6) имеет вид

$$U(r, p) = \frac{H^\circ}{p} \frac{K_0(\beta r)}{K_0(\beta R) + \beta / m K_1(\beta R)} \quad \left(m = \alpha \frac{k_2^*}{k_2} \frac{I_1(\alpha R)}{I_0(\alpha R)}, \beta = \sqrt{\frac{p}{a}} \right) \quad (2.9)$$

Оригинал изображения (2.9) по формуле обращения Римана — Меллина будет



Фиг. 4

Введем в рассмотрение замкнутый контур (фиг. 4), составленный из отрезка $(\gamma - i\sigma, \gamma + i\sigma)$, дуг C_ρ' и C_ρ'' окружности $|p| = \rho$, двубережного разреза (1), (2) и окружности c_δ ($|p| = \varepsilon$). Внутри этого контура подынтегральная функция аналитична и однозначна, поэтому по теореме Коши интеграл вдоль отрезка $(\gamma - i\sigma, \gamma + i\sigma)$ можно заменить интегралом вдоль остальной части контура (направление интегрирования показано стрелками).

Так как $t > 0$, то на дугах C_ρ' и C_ρ'' подынтегральная функция стремится к нулю при $\rho \rightarrow \infty$; к этому же пределу по лемме Жордана стремится рассматриваемый интеграл.

Найдем интеграл по малой окружности c_δ ($p = \varepsilon \exp i\varphi$), для чего при $\varepsilon \rightarrow 0$ ($p \rightarrow 0$) воспользуемся разложением функций Макдональда в ряды

$$K_0(z) = - \left(\ln \frac{1}{2} z + c \right) + \left[1 - \left(\ln \frac{1}{2} z + c \right) \right] \left(\frac{1}{2} z \right)^2 + \dots$$

$$K_1(z) = \frac{1}{z} - \left[\frac{1}{2} - \left(\ln \frac{1}{2} z + c \right) \right] \frac{1}{2} z + \dots$$

Получив при $|p| \rightarrow 0$ неопределенность вида ∞ / ∞ , раскроем ее по правилу Лопитала, дифференцируя по β , что дает

$$\frac{1}{2\pi i} \oint_{c_\varepsilon} = 1$$

Учитывая равенства

$$K_0(\pm iz) = \mp \frac{\pi}{2} i [J_0(z) \mp i Y_0(z)], \quad K_1(\pm iz) = -\frac{\pi}{2} [J_1(z) \mp i Y_1(z)]$$

найдем интеграл по берегам разреза (1), (2)

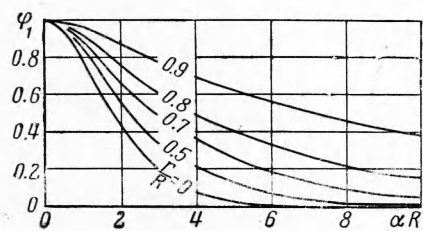
$$\begin{aligned} \int_{(1), (2)} &= \frac{1}{2\pi i} \int_0^\infty \frac{J_0(\beta r) - i Y_0(\beta r)}{[J_0(\beta R) - i Y_0(\beta R)] - \beta/m [J_1(\beta R) - i Y_1(\beta R)]} \frac{d\rho}{\rho} - \\ &- \frac{1}{2\pi i} \int_0^\infty \frac{J_0(\beta r) + i Y_0(\beta r)}{[J_0(\beta R) + i Y_0(\beta R)] + \beta/m [J_1(\beta R) + i Y_1(\beta R)]} \frac{d\rho}{\rho} \end{aligned}$$

Собирая результаты и полагая $\mu = \beta R = \sqrt{\rho/a}R$, получим уравнение депрессионной поверхности грунтовых вод во внепней зоне

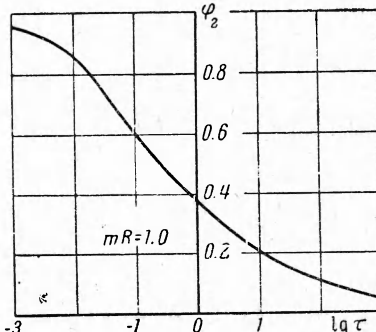
$$\begin{aligned} \frac{H_0 - H_2(r, t)}{H_0 - H^\circ} &= \\ -1 - \frac{2}{\pi} \int_0^\infty &\frac{[Y_0(\mu') J_0(\mu) - J_0(\mu') Y_0(\mu)] + \mu/mR [Y_0(\mu') J_1(\mu) - J_0(\mu') Y_1(\mu)]}{[J_0(\mu) + \mu/mR J_1(\mu)]^2 + [Y_0(\mu) + \mu/mR Y_1(\mu)]^2} \times \\ &\times \exp(-\mu^2 \tau) \frac{d\mu}{\mu} \quad (\tau = \frac{at}{R^2}, \mu' = \mu \frac{r}{R}) \end{aligned}$$

После определения из последнего выражения $h_2(R, t)$ при $r = R$ и подстановки в (2.2) уравнение поверхности пьезометрических напоров подстилающего водоносного горизонта можно представить в виде

$$h_2(r, t) = H^\circ + (H_0 - H^\circ) \varphi_1 \varphi_2 \quad (2.10)$$



Фиг. 5



Фиг. 6

Здесь введены вспомогательные функции понижения напора

$$\begin{aligned} \varphi_1 &= \frac{I_0(\alpha r)}{I_0(\alpha R)} \\ \varphi_2 &= \frac{1}{mR} \frac{4}{\pi^2} \int_0^\infty \frac{\exp(-\mu^2 \tau)}{[J_0(\mu) + \mu/mR J_1(\mu)]^2 + [Y_0(\mu) + \mu/mR Y_1(\mu)]^2} \frac{d\mu}{\mu} \end{aligned}$$

Вид функции $\varphi_1 = \varphi_1(dR)$ представлен на фиг. 5. На фиг. 6 приведен вид функции $\varphi_2 = \varphi_2(\tau)$ при значении $mR = 1$.

При $\tau \rightarrow 0$, имея в виду асимптотические разложения функций Макдональда и полагая в (2.9) $r = R$, получим

$$\begin{aligned} u(R, t) \approx H^\circ mR &\left\{ 2 \sqrt{\frac{\tau}{\pi}} - \left(mR + \frac{1}{2}\right) \tau + \left[(mR)^2 + mR + \right. \right. \\ &\left. \left. + \frac{3}{8}\right] \frac{4}{3\sqrt{\pi}} \tau^{3/2} - \left[(mR)^3 + \frac{3}{2}(mR)^2 + mR + \frac{3}{8}\right] \frac{1}{2} \tau^2 + \dots \right\} \end{aligned}$$

Переход к оригиналу с учетом $H_2(R, t) = H_0 - u(R, t) = h_2(R, t)$ дает для напоров в подстилающем водоносном горизонте следующее приближенное выражение

$$\begin{aligned} h_2(r, t) = & H^\circ + (H_0 - H^\circ) \varphi_1 \{1 - mR [1.1284 \sqrt{\tau} - (mR + 0.5)\tau + \\ & + ((mR)^2 + mR + 0.375) 0.752\tau^{3/2} - \\ & - ((mR)^3 + 1.5(mR)^2 + mR + 0.375) 0.5\tau^2 + \dots]\} \end{aligned}$$

Полученный ряд хорошо сходится при $mR < 1$ и $\tau < 0.25$.

Возвращаясь к структуре области дренирования, рассмотренной в первой задаче (фиг. 1), можно характеризовать течение во внешней области системой уравнений

$$k_1 H_1 \left(\frac{\partial^2 H_1}{\partial r^2} + \frac{1}{r} \frac{\partial H_1}{\partial r} \right) - \frac{k_0}{m_0} (H_1 - H_2) = \delta \frac{\partial H_1}{\partial t} \quad (2.11)$$

$$k_2 T_2 \left(\frac{\partial^2 H_2}{\partial r^2} + \frac{1}{r} \frac{\partial H_2}{\partial r} \right) - \frac{k_0}{m_0} (H_1 - H_2) = 0 \quad (2.12)$$

Решая (2.12) относительно H_1 , подставляя в (2.11) и пренебрегая производными порядка выше второго, получим дифференциальное уравнение (2.3), но с новым значением коэффициента пьезопроводности

$$a_1 = (k_1 H_1^\circ + k_2 T_2) / \delta$$

Следовательно, для этого случая действительно выражение (2.10), только вместо τ надо положить $\tau_1 = a_1 t / R^2$.

Среднее значение напора в верхнем слое H_{1m} находится из [2]

$$H_{1m}(t) = \eta / (\alpha_0, \tau_0) - (\eta - H_0) e^{-b_0 t} f(0, \tau_0) \quad \left(\eta = H_0 + \frac{\varepsilon m_0}{k_0} \right)$$

Здесь

$$f(\alpha_0, \tau_0) = 1 - \frac{\operatorname{th} \alpha_0}{\alpha_0} + \sum_{n=1}^{\infty} (-1)^{n+1} \frac{2 \sin \mu_n}{\mu_n^2 + \alpha_0^2} \exp [-(\mu_n^2 + \alpha_0^2) \tau_0]$$

$$f(0, \tau_0) = \lim_{\alpha_0 \rightarrow 0} f(\alpha_0, \tau_0) = \sum_{n=1}^{\infty} (-1)^{n+1} \frac{2 \sin \mu_n}{\mu_n^2} \exp(-\mu_n^2 \tau_0)$$

где

$$\mu_n = (2n - 1) \frac{\pi}{2}, \quad \alpha_0 = \sqrt{\frac{b_0}{a_0}} l, \quad \tau_0 = \frac{a_0 t}{l^2} \quad \left(a_0 = \frac{k_1 H_{cp}}{\delta}, \quad b_0 = \frac{k_0}{\delta m_0} \right)$$

$2l$ — расстояние между дренами; ε — интенсивность инфильтрации.

Авторы с благодарностью отмечают полезность обсуждения ряда вопросов с Н. Н. Веригиным.

Калининский торфяной институт

Поступила 26 VIII 1961

ЛИТЕРАТУРА

- Полубаринова-Кочина П. Я. Теория движения грунтовых вод. Гостехтеориздат, М., 1952.
- Шержуков Б. С. Неустановившаяся фильтрация в горизонтальные дрены при осушении торфяных месторождений напорно-грунтового питания. ПМТФ, 1960, № 3.
- Аверьянов С. Ф. Горизонтальный дренаж при борьбе с засолением орошаемых земель. М., Изд-во АН СССР, 1959.
- Грей Э., Мэтьюз Г. Б. Функции Бесселя и их приложения к физике и механике. ИИЛ, 1953.